

# Contrôle optimal sous contrainte d'un modèle hydrogéologique : un problème de pollution des eaux en sous-sol

Éloïse Comte

6ème école EGRIN



Mardi 19 Juin 2018 - Le Lioran



Les trois variables du modèle ...

- quantité d'engrais  $p(x, t)$  épandue au cours du temps à la surface du sol
- concentration  $c(x, t)$  du principal polluant issu de l'engrais dans le sous-sol
- vitesse de déplacement du soluté dans le sous-sol,  $v(x, t)$ .

$$\begin{cases} R\psi\partial_t \mathbf{c} + \mathbf{v} \cdot \nabla \mathbf{c} - \operatorname{div}(\psi S(\mathbf{v}) \nabla \mathbf{c}) = -r(\mathbf{c}) + (\gamma + p)(1 - \mathbf{c}) - g\mathbf{c} \\ \operatorname{div}(\mathbf{v}) = \gamma + p + g, \quad \mathbf{v} = -\kappa \nabla \phi \end{cases} + CI + CB.$$

$R$  : coefficient de retard

$\psi$  : porosité

$S(\mathbf{v})$  : tenseur de dispersion

$\kappa$  : tenseur de perméabilité

$r(c)$  : terme de réaction en solution

$\gamma$  : apport naturel

$g$  : autres apports ou pertes

$\phi$  : charge hydraulique

$$S(\mathbf{v}) = S_m \mathbf{Id} + S_p(\mathbf{v})$$

$$S_p(\mathbf{v}) = |\mathbf{v}| (\alpha_L \epsilon(\mathbf{v}) + \alpha_T (\mathbf{Id} - \epsilon(\mathbf{v}))), \text{ avec } \epsilon(\mathbf{v})_{i,j} = \frac{v_i v_j}{|\mathbf{v}|^2}.$$

$\Omega \subset \mathbb{R}^N, N \leq 3$

$0 < T \leq \infty ; J : p \in E \mapsto J(p, c) \in \mathbb{R}$  où

$$J(\textcolor{red}{p}, \textcolor{blue}{c}) = \int_0^T \left( \int_{\Omega} \left( \textcolor{red}{f}(x, p) - \textcolor{blue}{D}(x, c) \right) dx \right) e^{-\rho t} dt.$$

avec  $E_0 \subset \{f \in L^2(0, T; L^2(\Omega)), 0 \leq f \leq \bar{p}, \text{ p.p. dans } \Omega \times (0, T)\}$ .

Problème de contrôle optimal :

$$\max_{p \in E_0} J(p, c)$$

sous contrainte du système d'état pour  $c$  et  $\phi$ .

- **les bénéfices agricoles** sont représentés par  $f$ , dépendant de l'apport d'engrais : croissante, strictement concave, continue inférieurement sur  $\mathbb{R}^+$
- **les dommages environnementaux** sont représentés par  $D$ , dépendant de la concentration : croissante, strictement convexe, hémicontinue
- $\rho \in ]0, 1[$  taux d'actualisation.

### Problème de contrôle optimal sous contrainte d'un système d'EDP

Trouver

$$\max_{\mathbf{p} \in E} J(\mathbf{p}, \mathbf{c}) = \int_0^T \left( \int_{\Omega} \left( f(x, \mathbf{p}) - D(x, \mathbf{c}) \right) dx \right) e^{-\rho t} dt$$

sous contraintes (Ecp $\phi$ )

$$\begin{cases} R\psi \partial_t \mathbf{c} + \mathbf{v} \cdot \nabla \mathbf{c} - \operatorname{div}(\psi \mathcal{S}(\mathbf{v}) \nabla \mathbf{c}) = -r(\mathbf{c}) + (\gamma + \mathbf{p})(1 - \mathbf{c}) - g\mathbf{c} \\ \operatorname{div}(\mathbf{v}) = \gamma + \mathbf{p} + g, \quad \mathbf{v} = -\kappa \nabla \phi \end{cases}$$

+ CI + CB.

## Problème de contrôle optimal sous contrainte d'un système d'EDP

## Trouver

$$\max_{\mathbf{p} \in E} J(\mathbf{p}, \mathbf{c}) = \int_0^T \left( \int_{\Omega} \left( f(x, \mathbf{p}) - D(x, \mathbf{c}) \right) dx \right) e^{-\rho t} dt$$

## sous contraintes ( $Ecp\phi$ )

$$\begin{cases} R\psi \partial_t \textcolor{blue}{c} + \textcolor{green}{v} \cdot \nabla \textcolor{blue}{c} - \operatorname{div}(\psi \mathcal{S}(\textcolor{green}{v}) \nabla \textcolor{blue}{c}) = -r(\textcolor{blue}{c}) + (\gamma + \textcolor{red}{p})(1 - \textcolor{blue}{c}) - g\textcolor{blue}{c} \\ \operatorname{div}(\textcolor{green}{v}) = \gamma + \textcolor{red}{p} + g, \quad \textcolor{green}{v} = -\kappa \nabla \phi \end{cases}$$

+ Cl + CB.

$$\begin{array}{ccc} \text{Trouver } p \text{ dans } J(p, c) & \implies & \text{connaître } c \text{ pour avoir } J(p) \\ \uparrow & & \downarrow \\ \text{connaître } p \text{ pour avoir } (Ec) & \iff & \text{résoudre } (Ecp\phi) \end{array}$$

## Résultats génériques

(H1)  $\kappa \in (\mathcal{C}^1(\bar{\Omega}))^{N \times N}$  et  $\phi_1 \in W^{2,p}(\bar{\Omega})$  avec  $p > N$

(H2)  $\kappa = \kappa^* Id$  avec  $\kappa^* : \bar{\Omega} \rightarrow \mathbb{R}$ ,  $\kappa^* \in C^1(\bar{\Omega})$  et  $\phi_1 \in W^{2,p}(\bar{\Omega})$   
avec  $p > N/2$

(H3)  $\alpha_T > 0$

### Théorème 1

Si une des hypothèses est vérifiée et si il existe un ensemble  $I \subset \mathbb{R}$  tel que  $r$  a une dérivée bornée dans  $I$  et  $r(0) - \gamma \leq 0$  et  $r(1) + g \geq 0$  et  $[0, 1] \subset I$ ,  
**alors il existe une solution globale  $(c^*, p^*, \phi^*)$  au problème de contrôle optimal.**

Outils de preuve :

Théorème de point fixe de Schauder et faible semi-continuité inférieure des fonctions concaves

Question :

Unicité ?

## **Faibles concentrations : un cas réaliste**

## Hypothèse de faible concentration du polluant

"Faibles concentrations" : la quantité d'engrais épandue par l'agriculteur est du même ordre que la concentration totale de polluants dans le sol, cette dernière étant très inférieure à 1.

Adimensionnement du modèle :

$$c = c_{ref} \hat{c}$$

où  $c_{ref} = \epsilon$  est la concentration de référence.

$$C = \epsilon C_{\epsilon, p_\epsilon}, \quad p = \epsilon p_\epsilon, \quad V = V_{\epsilon, p_\epsilon}, \quad \phi = \phi_{\epsilon, p_\epsilon}$$

réaction :  $r(\epsilon, \epsilon C_{\epsilon, p_\epsilon})$

### Hypothèse de faible concentration du polluant

"Faibles concentrations" : la quantité d'engrais épandue par l'agriculteur est du même ordre que la concentration totale de polluants dans le sol, cette dernière étant très inférieure à 1.

En notant  $r_\epsilon(c) := r(\epsilon, \epsilon c)/\epsilon$  on a :

$(\mathcal{P}^\epsilon)$  Modèle adimensionné dépendant de  $\epsilon$  :

Trouver  $(p_\epsilon^*, c_\epsilon^*, \phi_\epsilon^*)$  tel que

$$J(p_\epsilon^*, c_\epsilon^*) = \max_{p_\epsilon \in E_\epsilon} J(p_\epsilon, c_{\epsilon, p_\epsilon}) = \int_{\mathbb{R}_+} \left( \int_{\Omega} f(x, p_\epsilon) - D(x, c_{\epsilon, p_\epsilon}) dx \right) e^{-\rho t} dt$$

$$\begin{aligned} R\psi \partial_t(c_{\epsilon, p_\epsilon}) + v_{\epsilon, p_\epsilon} \cdot \nabla c_{\epsilon, p_\epsilon} - \operatorname{div}(\psi S(v_{\epsilon, p_\epsilon}) \nabla c_{\epsilon, p_\epsilon}) \\ = -r_\epsilon(c_{\epsilon, p_\epsilon}) - g c_{\epsilon, p_\epsilon} + p_\epsilon (1 - \epsilon c_{\epsilon, p_\epsilon}) \end{aligned}$$

$$\operatorname{div}(v_{\epsilon, p_\epsilon}) = \epsilon p_\epsilon + g \text{ où } v_{\epsilon, p_\epsilon} = -\kappa \nabla \phi_{\epsilon, p_\epsilon}, + \text{CI} + \text{CB}.$$

$\epsilon \ll 1$

### Hypothèse de faible concentration du polluant

"Faibles concentrations" : la quantité d'engrais épandue par l'agriculteur est du même ordre que la concentration totale de polluants dans le sol, cette dernière étant très inférieure à 1.

En notant  $r_\epsilon(c) := r(\epsilon, \epsilon c)/\epsilon$  on a :

( $\mathcal{P}^\epsilon$ ) Modèle adimensionné dépendant de  $\epsilon$  :

Trouver  $(p_\epsilon^*, c_\epsilon^*, \phi_\epsilon^*)$  tel que

$$J(p_\epsilon^*, c_\epsilon^*) = \max_{p_\epsilon \in E_\epsilon} J(p_\epsilon, c_{\epsilon, p_\epsilon}) = \int_{\mathbb{R}_+} \left( \int_{\Omega} f(x, p_\epsilon) - D(x, c_{\epsilon, p_\epsilon}) dx \right) e^{-\rho t} dt$$

$$\begin{aligned} R\psi \partial_t(c_{\epsilon, p_\epsilon}) + v_{\epsilon, p_\epsilon} \cdot \nabla c_{\epsilon, p_\epsilon} - \operatorname{div}(\psi S(v_{\epsilon, p_\epsilon}) \nabla c_{\epsilon, p_\epsilon}) \\ = -r_\epsilon(c_{\epsilon, p_\epsilon}) - g c_{\epsilon, p_\epsilon} + p_\epsilon (1 - \epsilon c_{\epsilon, p_\epsilon}) \end{aligned}$$

$$\operatorname{div}(v_{\epsilon, p_\epsilon}) = \epsilon p_\epsilon + g \text{ où } v_{\epsilon, p_\epsilon} = -\kappa \nabla \phi_{\epsilon, p_\epsilon}, + \text{CI} + \text{CB}.$$

$$\epsilon \ll 1$$

Modèle adimensionné ( $\mathcal{P}^\epsilon$ ) : pas d'unicité de la solution

### Approche

- On construit le problème effectif correspondant  $(\mathcal{P}_{eff}) := \lim_{\epsilon \rightarrow 0} (\mathcal{P}^\epsilon)$ .
- On montre que le problème effectif est **bien posé**.
- De plus, la démarche adoptée nous a permis de prouver que la solution de  $(\mathcal{P}^\epsilon)$  converge vers la solution de  $(\mathcal{P}_{eff})$ .

### Théorème 3

***Il existe une unique solution globale  $(p^*, c^*, \phi)$  au problème effectif avec pour tout  $T > 0$ ,  $c^* \in C([0, T]; L^2(\Omega)) \cap L^2(0, T; H^1(\Omega))$  et  $c^*(x, t) \geq 0$  p.p. dans  $\mathbb{R}_+ \times \Omega$ ,  $\phi \in L^\infty(0, T; H^1(\Omega))$ .***

Difficultés :

- traiter les non linéarités

La limite du contrôle optimal de  $(\mathcal{P}^\epsilon)$  est un contrôle optimal de  $(\mathcal{P}_{\text{eff}})$ .

## Théorème 2

Soit  $x \mapsto r(\epsilon, x)$  dérivable à dérivée bornée sur  $[0, 1]$  et telle que  $r(\epsilon, 0) = 0$ ,  $r(\epsilon, 1) + g \geq 0$ . On suppose également que  $r_\epsilon(x) := r(\epsilon, \epsilon x)/\epsilon$  converge simplement vers  $\tilde{r}$  concave, dérivable à dérivée bornée sur  $\mathbb{R}_+$ .

Lorsque  $\epsilon \rightarrow 0$ , toute solution  $(p_\epsilon^*, c_\epsilon^*, \phi_\epsilon^*)$  du problème adimensionné converge vers l'unique solution du problème effectif et  $\forall T > 0$ ,

$$\begin{cases} \phi_\epsilon^* \rightharpoonup \phi \text{ dans } L^q(0, T; H^1(\Omega)), \text{ pour tout } q \geq 1, \\ c_\epsilon^* \rightharpoonup c^* \text{ dans } L^2(0, T; H^1(\Omega)), c_\epsilon^* \rightarrow c^* \text{ dans } L^2(\Omega_T), \text{ p.p. dans } \Omega_T, \\ p_\epsilon^* \rightharpoonup p^* \text{ dans } L^q(\Omega_T), \text{ pour tout } q \geq 1. \end{cases}$$

Difficultés :

- 1 prouver les convergences
- 2 passer à la limite (termes non linéaires)
- 3 prouver que la limite est bien la solution optimale

Idée de preuve :

1) Prouver les convergences

2) Passer à la limite (termes non linéaires) grâce à des résultats de compacité

Comportement limite du système d'état :

$$R\psi \partial_t c + v \cdot \nabla c - \operatorname{div}(\psi S(v) \nabla c) = -\tilde{r}(c) - gc + p \text{ sur } \mathbb{R}_+ \times \Omega,$$

$$S(v) \nabla c \cdot n = 0 \text{ sur } \partial\Omega,$$

où

$$\operatorname{div}(v) = g \text{ sur } \mathbb{R}_+ \times \Omega, v = -\kappa \nabla \phi \text{ et } \phi = \phi_1 \text{ sur } \partial\Omega.$$

### 3) Prouver que la limite est la solution optimale

Comportement limite du problème d'optimisation :

Ce qu'on sait :

$(p_\epsilon^*, c_\epsilon^*) \rightarrow (p, c)$  qui satisfait les équations d'état du problème effectif.

Question :

est-ce que  $(p, c)$  est la solution optimale de  $(\mathcal{P}_{eff})$  ?

Une réponse :

a priori non ... mais on prouve que  $(p, c)$  maximise l'objectif de  $(\mathcal{P}_{eff})$ .

### 3) Prouver que la limite est la solution optimale

Comportement limite du problème d'optimisation :

Ce qu'on sait :

$(p_\epsilon^*, c_\epsilon^*) \rightarrow (p, c)$  qui satisfait les équations d'état du problème effectif.

Question :

est-ce que  $(p, c)$  est la solution optimale de  $(\mathcal{P}_{eff})$  ?

Une réponse :

a priori non ... mais on prouve que  $(p, c)$  maximise l'objectif de  $(\mathcal{P}_{eff})$ .

Soit  $(p^*, c^*)$  la solution optimale de  $(\mathcal{P}_{eff})$ .

On sait que  $J(p, c) \leq J(p^*, c^*) := M_{opt}$ .

On montre que  $J(p^*, c^*) \leq J(p, c)$ .

3) Prouver que la limite est la solution optimale

$$J(p, c) = \int_{\mathbb{R}} \left( \int_{\Omega} f(x, p) - D(x, c) dx \right) e^{-\rho t} dt \geq \overline{\lim}_{\epsilon \rightarrow 0} J(p_{\epsilon}^*, c_{\epsilon}^*) = \overline{\lim}_{\epsilon \rightarrow 0} M^{\epsilon}.$$

Est-ce que  $\underline{\lim}_{\epsilon \rightarrow 0} M^{\epsilon} \geq M_{opt}$  ?

### 3) Prouver que la limite est la solution optimale

L'équation d'état est aussi satisfaite par la limite forte dans  $L^2(\Omega_T)$  et p.p. dans  $\Omega_T$  de  $c_{\epsilon_{app}}^*$ , où  $c_{\epsilon_{app}}^*$  est associée à  $p^*$  par

$$R\psi \partial_t c_{\epsilon_{app}}^* + v_{\epsilon_{app}} \cdot \nabla c_{\epsilon_{app}}^* - \operatorname{div}(\psi S(v_{\epsilon_{app}}) \nabla c_{\epsilon_{app}}^*) = -r_\epsilon(c_{\epsilon_{app}}^*) - g c_{\epsilon_{app}}^* + p^*(1 - \epsilon c_{\epsilon_{app}}^*)$$

$$\operatorname{div}(v_{\epsilon_{app}}) = \epsilon p^* + g, \quad v_{\epsilon_{app}} = -\kappa \nabla \phi_{\epsilon_{app}} \text{ dans } \Omega_T,$$

+CI+CB.

Par définition de  $M^\epsilon$ ,  $J(p^*, c_{\epsilon_{app}}^*) \leq J(p_\epsilon^*, c_\epsilon^*) := M^\epsilon$ .

### 3) Prouver que la limite est la solution optimale

Comme  $p^*$  ne dépend pas de  $\epsilon$ ,  $c_{\epsilon_{app}}^* \rightarrow c^*$  et  $x \mapsto J(p^*, x)$  est continue inférieurement,

$$\lim_{\epsilon \rightarrow 0} J(p^*, c_{\epsilon_{app}}^*) = J(p^*, c^*).$$

Alors

$$M_{opt} = J(p^*, c^*) = \lim_{\epsilon \rightarrow 0} J(p^*, c_{\epsilon_{app}}^*) \leq \varliminf_{\epsilon \rightarrow 0} J(p_\epsilon^*, c_\epsilon^*) := \varliminf_{\epsilon \rightarrow 0} M^\epsilon.$$

Finalement, on prouve que

$$J(p^*, c^*) \leq \varliminf_{\epsilon \rightarrow 0} M^\epsilon \leq \overline{\lim}_{\epsilon \rightarrow 0} M^\epsilon \leq J(p, c) \leq J(p^*, c^*)$$

i.e.  $J(p, c) = J(p^*, c^*) := M_{opt}$ .

On conclut que  $(p, c) = (p^*, c^*)$  grâce au résultat d'unicité.

### Théorème 3.3

On suppose  $p \in [0, \bar{p}] \mapsto f(x, p)$  et  $c \in [0, +\infty[ \mapsto D(x, c)$  de classe  $\mathcal{C}^1$   
 $\forall x \in \Omega$  et  $r$  de classe  $\mathcal{C}^1$ . Soit  $(p^*, c^*)$  la solution de  $\mathcal{P}_{E_{0T}}$ . Il existe  
 $\mu \in L^2(0, T; H^1(\Omega))$  tel que

$$\frac{\partial f}{\partial p}(x, p^*(t, x)) = \mu(t, x) \chi_S(x) \text{ dans } \Omega_T$$

satisfaisant la condition terminale

$$R\psi\mu(T, x) = \nu \frac{\partial D}{\partial c}(x, c^*(T, x)) \text{ dans } \Omega$$

et l'équation

$$R\psi\partial_t\mu = -v \cdot \nabla\mu - \operatorname{div}(\psi S(v)\nabla\mu) + r'(c^*)\mu + \mu R\psi\rho - \frac{\partial D}{\partial c^*}(x, c^*) \text{ dans } \Omega_T$$

munie des conditions aux bords.

## Résultats numériques

## Introduction du flux

$$\nu_c = -S(v)\psi \nabla c + vc \quad \text{et} \quad \nu_\mu = -S(v)\psi \nabla \mu - v\mu$$

$$R\psi \partial_t c + \operatorname{div}(\nu_c) = -r(c) + p\chi_s$$

$$R\psi \partial_t \mu + \operatorname{div}(\nu_\mu) = -r'(c)\mu - R\psi \rho \mu + \frac{\partial D}{\partial c}(x, c) + g\mu$$

+ conditions aux bords, initiale, terminale.

## Discretisation par Éléments Finis Mixtes

## Unicité, stabilité et convergence de la solution discrétisée

- pour le problème en concentration
- pour le problème adjoint

$h$  : diamètre des mailles ;       $\tau$  : pas de temps

*Calcul de  $\phi_h$  vérifiant l'équation d'incompressibilité.*

Étape 0 : initialisation

$i = 0$ ,  $p_h^{n,i} = p_h^n$  données quelconques.

Pour  $i = i + 1$  :

Étape 1 : résolution des problèmes en concentration et adjoint discrets

calcul des  $c_h^n$  vérifiant le problème en concentration, pour  $p = p_h^n$ ,

calcul des  $\mu_h^n$  vérifiant le problème adjoint.

Étape 2 : gradient conjugué non linéaire

$$f'(p_h^{n,i}) - \mu_h^n \leftarrow p_h^{n,i+1}$$

Critère d'arrêt :  $\max_{1 \leq n \leq N} |p_h^{n,i+1} - p_h^{n,i}| < s$ ,  $s$ =seuil donné.

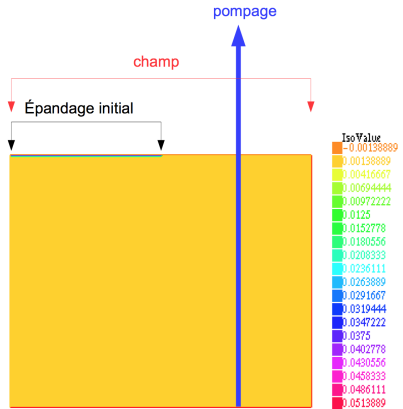


FIGURE: Quantité d'engrais initialement épandue.

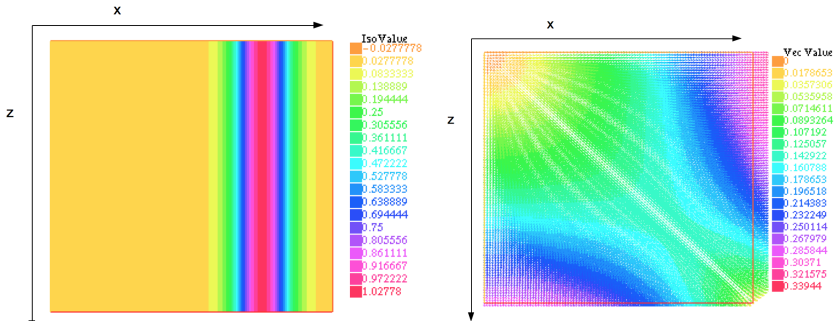
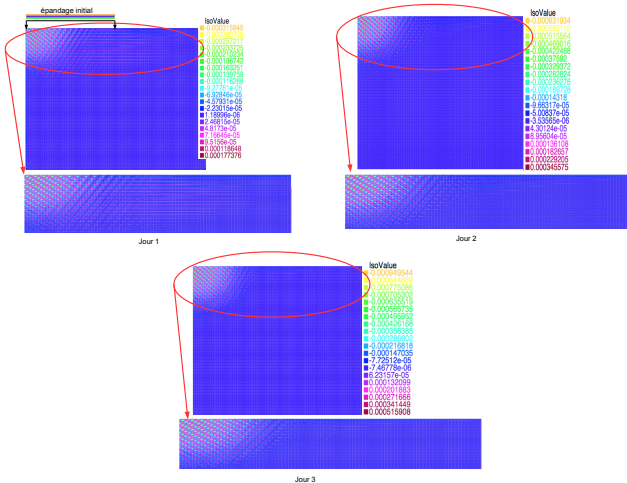


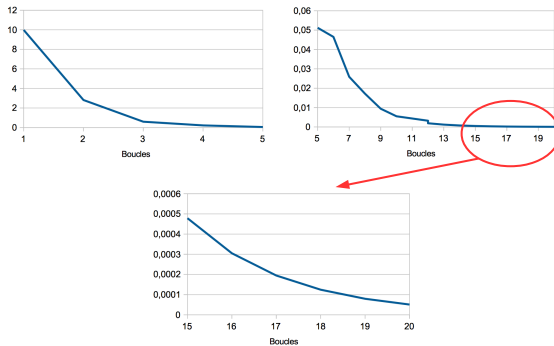
FIGURE: Fonction pompage et vecteur vitesse.



**FIGURE:** Concentration (résolution initiale) aux jours 1, 2 et 3.

Convergence de l'algorithme :

$$\frac{\sum_{n=0}^{n_{max}} \sum_{h=0}^{h_{max}} |p_h^{n,i+1} - p_h^{n,i}|}{n_{max} \times h_{max}}$$



**FIGURE:** Moyenne des  $|p_h^{n,i+1} - p_h^{n,i}|$  pour vingt boucles de calcul ( $1 \leq i \leq 20$ ).

Étude de l'objectif :

$$\int_0^T \left( \int_S f(p) e^{-\rho t} dx - \int_{\Omega} D(c) e^{-\rho t} dx \right) dt - e^{-\rho T} \int_{\Omega} D(c) dx.$$

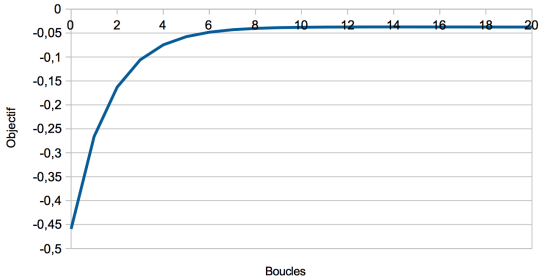
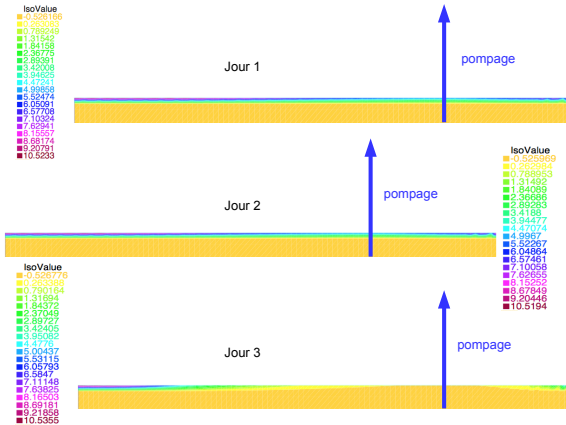


FIGURE: Objectif en fonction de vingt boucles.



**FIGURE:** Approximation de la solution optimale après 15 boucles aux jours 1, 2 et 3 ( $p_h^{100,15}$ ,  $p_h^{200,15}$ ,  $p_h^{300,15}$ ).

Merci de votre attention

## Références

- 1 E. Augeraud-Véron, C. Choquet and **É. Comte**.  
*Optimal control for a groundwater pollution ruled by a convection-diffusion-reaction problem.* J. of Optim. Theory and Appl., 2017.
- 2 E. Augeraud-Véron, C. Choquet and **É. Comte**.  
*Existence, uniqueness and asymptotic analysis of optimal control problems for a model of groundwater pollution.*  
Accepté avec corrections mineures dans Control, Opt. & Calc. of Var.
- 3 **É. Comte**.  
*Mixed Finite Element Method and numerical analysis of a convection-diffusion-reaction model in a porous media.* En préparation.